

معرفی اتصال خمسي تیر به ستون قوطی فولادی با استفاده از صفحات کناری

فریبرز ناطقی‌الهی (استاد)

زهرا طباطبائی (دانشجوی کارشناسی ارشد)

پژوهشگاه بین‌المللی زلزله‌شناسی و مهندسی زلزله

استفاده از تیرهای I شکل و ستون‌های قوطی در سازه‌های فولادی ایران در ساختمان‌های بلند بسیار متداول است، نقطه ضعف اساسی این سازه‌ها اتصالات آنهاست. برای اصلاح این اتصالات استفاده از اتصال با صفحه‌ی کناری توصیه می‌شود، برای دسترسی به رفتار این نوع اتصال از تحلیل استاتیکی غیرخطی و با استفاده از برنامه‌ی ANSYS رفتار هیبتزیس این اتصال با توجه به تغییر ابعاد تیر و ستون و تغییر ضخامت ورق کناری تحلیل شده است، نتایج این تحلیل نشان‌دهنده تشكیل مفصل خمیری در تیر و در فاصله‌ی دور از بر ستون است. نمودارهای استخراج شده از نتایج تحلیل نشان‌دهنده مقاومت، سختی و میزان شکل‌پذیری قابل قبول برای این اتصال پیشنهادی است و می‌توان از آن‌ها در قاب‌های خمسي ویه در مناطقی با لزه‌خیزی زیاد استفاده کرد. یکی از مهم‌ترین مزایای این اتصال عدم نیاز به ورق‌های پیوستگی در داخل ستون است.

nateghi@iiees.ac.ir
tabatabaei.z@gmail.com

وازگان کلیدی: اتصال گیردار، ستون قوطی، صفحه‌ی کناری، سازه‌ی مقاوم،

مقدمه

را در اختیار قرار گرفتند که از آن جمله می‌توان به اتصال (قطعه تیر کاوش یافته)^۱ که به اتصال Dog Bone هم معروف است، اتصال (ورق کناری)^۲، اتصال (جان بریده شده)^۳، اتصال (تشیمن پیچ شده)^۴ و اتصال (جان کاوش یافته)^۵ اشاره کرد که در مرور اتصال RBS طی عملی خیرخواهانه، صاحب اختیاع استفاده از آن را بدون دریافت حق اختیاع برای عموم آزاد اعلام کرد.^[۱] اتصالی که در این نوشتار قصص معرفی آن را داریم، اتصال با استفاده از صفحه‌ی کناری است. این اتصال برای ستون‌های قوطی شکل با کاربرد وسیع در ایران قابل استفاده است. در این اتصال علاوه بر تعديل تقاضا اشاره شده، مزیت‌های بسیاری نیز به دست آمده است.

هندسه‌ی اتصال صفحات کناری

در پژوهش‌های انجام شده رفتار اتصالات خمسي با ستون‌های دوبل در اثر بارگذاری یکنواخت بررسی شده‌اند.^[۲] نتایج آزمایش‌های انجام شده نشان می‌دهد که وجود ورق تقویتی ستون در مسیر انتقال نیرو باعث می‌شود که اتصال به صورت نیمه‌گیردار عمل کند. مشکل تغییرشکل‌های بیش از حد ورق تقویتی ستون‌های دوبل در اثر نیروی کششی بسیار شیبیه به تغییرشکل‌های بال ستون قوطی در اتصالات خمسي بدون دیفاراکم داخلی است. پژوهشگران مختلف برای حل این مشکل در ستون‌های قوطی مطالعاتی انجام داده و به این نتیجه رسیده‌اند که بهترین روش انتقال نیروهای بال تیر به ستون قوطی، بدون تغییرشکل مقطع ستون قوطی، انتقال آن از طریق

در یک طرح لزه‌بی، ساختمان‌های فولادی جوشی با قاب‌های مقاوم خمسي بر این اساس باید طراحی شوند که بدون از دست دادن مقاومت، قابلیت تسليیم و تغییرشکل زیادی را داشته باشد. این تغییر شکل خمیری بایستی درون تیرهای متصل شده به ستون‌ها به وجود آید تا انرژی ناشی از بارهای لزه‌بی را به خوبی مستهلك کند. بدین ترتیب رفتار مورد انتظار از اتصال، رفتاری کاملاً شکل‌پذیر است. اما زلزله‌ی ۱۷ زانویه‌ی ۱۹۹۴ نورتریج کالیفرنیا مشخص کرد که اتصالات صلب جوشی تیر به ستون در قاب‌های خمسي در مقایسه با قبل بیشتر آسیب‌پذیر هستند.^[۳]

در حال حاضر مشخص است که برای دست‌یابی به رفتار شکل‌پذیر مطمئن در سازه‌های با قاب‌های خمسي فولادی انجام تغییراتی در روش طراحی قدیم، صالح، ساخت، نصب و تضمین کیفیت آن‌ها الزامی است. درواقع زلزله‌ی نورتریج (۱۹۹۴) نقطه‌ی عطفی در طراحی سازه‌های فولادی قاب خمسي و به خصوص اتصالات آن‌ها به حساب می‌آید. پس از این زلزله، دانشمندان و مهندسان علم ساختمان بر آن شدند تا به ابتکارها و نوآوری‌های جدید بپردازند و کارآئی هرکدام از ایده‌ها را با انجام تحقیق‌های اجزاء محدود و انجام آزمایش‌ها بسنجند. رقابت بین دانشمندان و مهندسان در زمینه‌ی اتصالات که حتی تا امروز هم ادامه دارد به آنچا کشید که بعضی افراد پس از پیشنهاد جزیبات اتصال و آزمایش آن و اطمینان از عملکرد آن، جزیبات اتصال خود را به عنوان اختیاع به ثبت رسانند و حق مالکیت آن جزیبات

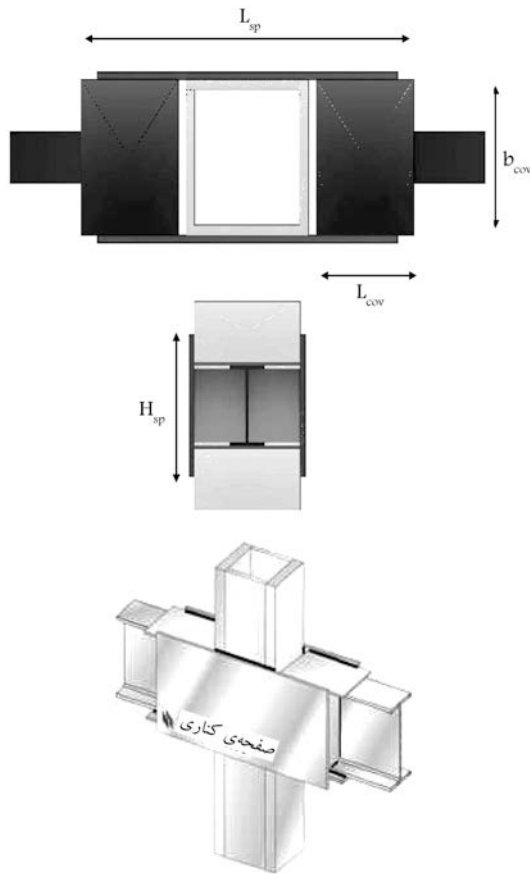
تاریخ: دریافت ۱۴۰۰/۱۲/۱۳، داوری ۱۴۰۰/۹/۱۳، پذیرش ۱۴۰۰/۱۲/۱۳.

از طریق دو صفحه‌ی برشی مستطیل شکل که در دو طرف جان تعییه شده‌اند انتقال می‌یابد.

فرضیات مدل‌سازی

برای مدل‌سازی از نرم‌افزار ANSYS ۴۵ [۱] و از المان SOLID استفاده شده‌است. این المان برای مدل‌سازی سه‌بعدی و حجمی سازه‌ها به کار می‌رود (شکل ۲) و دارای ۸ گره است که هر گره سه درجه‌ی آزادی تغییرمکانی در جهت‌های X و Y و Z دارد. علت استفاده از این المان قابلیت مدل‌سازی رفتار خمیری و تغییرشکل‌های بزرگ آن است. چون با توجه به امکان بروز کمانش در مدل‌ها باید المانی به کار رود که قوانایی مدل‌سازی تغییرشکل‌های بزرگ را داشته باشد. زیرسازه‌ی ساخته شده در نرم‌افزار متشکل از خود اتصال با صفحات کناری، تیر و ستون تا محل لنگر صفر در وسط دهانه را شامل می‌گردد (شکل ۳).

تیرها به صورت پروفیل ۱ شکل و ستون‌ها قوطی هستند. ابعاد کلی مدل‌ها و مشخصات پروفیل‌ها و ورق‌های اتصال مورد استفاده در جدول‌های ۱ و ۲ نشان داده شده‌اند. در جدول ۲ پارامترهای t_{sp} , L_{sp} و h_{sp} به ترتیب برابر ضخامت، طول و ارتفاع صفحات کناری L_{cov} و b_{cov} به ترتیب برابر ضخامت، طول و عرض ورق‌های پوششی (ورق‌های تنظیم فاصله بین بال تیر و بال ستون) و t_{sh} برابر ضخامت صفحات برشی است. ابعاد اتصال ورق‌های روسری و زیرسری ستون

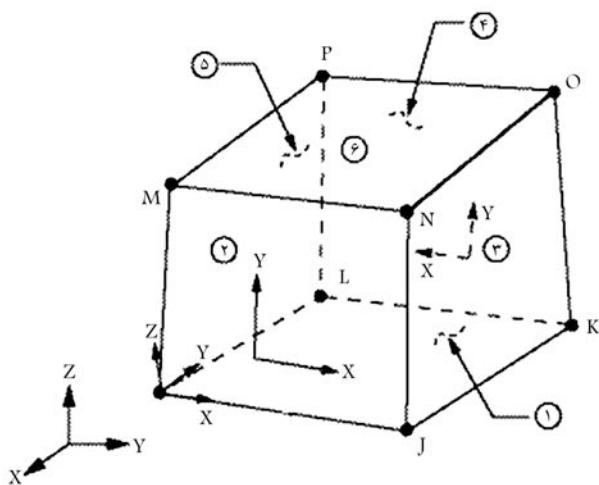


شکل ۱. سیستم اتصال تیر به ستون قوطی با صفحات کناری.

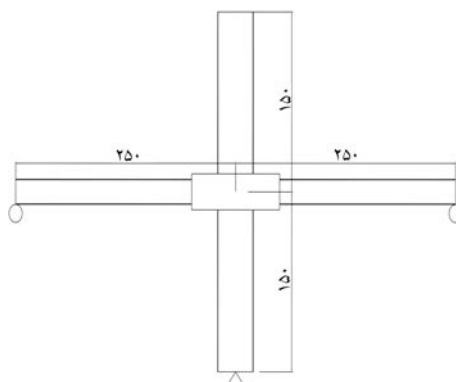
صفحاتی موازی جان ستون است.^[۲] این صفحات از یک طرف به کناره‌های ستون و از طرف دیگر به بال‌های تیر متصل می‌شوند و اتصال مستقیم بین بال تیر و بال ستون حذف شده است.

پژوهشگران دیگر نیز از ایده‌ی حذف اتصال مستقیم بین بال تیر و بال ستون استفاده کردند که در آن به جای ورق از نبیشی استفاده کردند.^[۳] در سال ۱۹۹۶ نیز در روش مشابه از ایده‌ی حذف اتصال مستقیم بین بال تیر و بال ستون استفاده شد.^[۴] تمام این پژوهش‌ها باعث اصلاحاتی در عملکرد اتصالات خمی با ستون‌های قوطی شدند، ولی تمامی آنها نقاط ضعفی نیز داشتند. پس از زلزله‌ی نورتربیج، برای رفع مشکلات عمومی اتصال‌های خمی در مقابل زلزله، اتصال جدیدی پیشنهاد و در آن از ایده‌ی حذف اتصال مستقیم بال تیر و بال ستون استفاده شد.^[۵] این اتصال برای ستون‌های بال پهن و قوطی و ستون‌های با مقطع صلبی پیشنهاد و در آن برخلاف روش‌های قبلی به جای استفاده از ۴ ورق در تراز بال‌های تیر، از ۲ صفحه‌ی کناری تمام عمق استفاده شده است.

در این سیستم انتقال ممان خمی از تیر به ستون به جای استفاده از مسیر اتصال مستقیم بال تیر به بال ستون از طریق صفحات کناری انجام می‌شود (شکل ۱). ممان انتهایی تیر به صورت یک زوج نیرو در دو بال فوقانی و تحتانی تیر اثر می‌کند. این زوج نیرو از طریق جوش‌های گوش به ورق‌های پوششی (ورق‌های تنظیم فاصله بین بال تیر و بال ستون) فوقانی تحتانی منتقل می‌شوند و سپس از طریق این دو صفحه به صفحه‌های کناری انتقال می‌یابند و در آخر نیز با جوش‌های گوش به ستون منتقل می‌شوند. انتقال نیروی برشی نیز گرچه ممکن است مانند روش‌های متعارف از طریق جان تیر به ستون انجام شود ولی در سیستم پیشنهادی



شکل ۲. هندسه و موقعیت گره‌های SOLID ۴۵.



شکل ۳. ابعاد کلی مدل‌ها (برحسب سانتی‌متر).

جدول ۴. ابعاد اتصال RBS.

مدل	قطعه تیر	قطعه ستون	a	b	c
RBS	IPE ^{۳۰}	۴۰ × ۴۰ × ۲	۱۰	۲۵	۳

جدول ۵. ابعاد اتصال Side Plate.

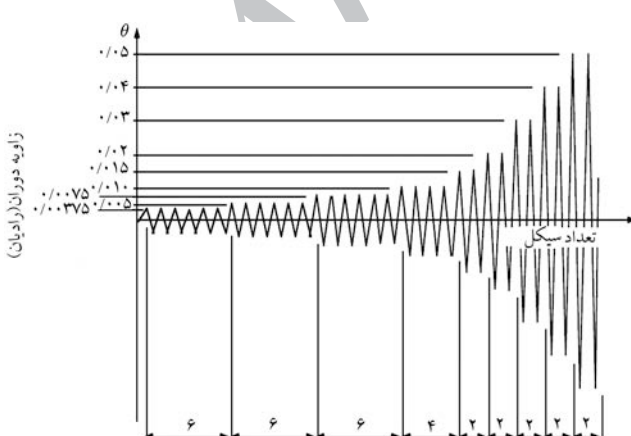
مدل	قطعه تیر	قطعه ستون	t cov	L cov	H sp	L sp	t sp
اتصال Side Plate	۳۰TPF	۴۰ × ۴۰ × ۲	۰,۸	۴۹	۳۵	۱۳۴	۲,۵

تحلیل غیرخطی مصالح

مصالح مدل‌های مورد مطالعه ST-۳۷ است که برای مدل‌کردن رفتار آن از مدل تنش کرنش دوخطی استفاده شده است. در این مدل ضریب کشسانی فولاد که برای شیب خط اول منحنی است، ۲۱۰ GPa می‌باشد. همچنان که در ترتیب فولاد با این شیب به تنش تسلیمی برابر با ۲۴۰ کیلوگرم بر سانتی‌مترمربع می‌رسد که در این نقطه کرنشی تقریباً برابر با ۰,۰۰۱۲ دارد. پس از نقطه تسلیم، منحنی با شیب خط دوم به روند صعودی خود ادامه می‌دهد تا به تنش نهایی ۳۷۰ کیلوگرم بر سانتی‌مترمربع با کرنش ۰/۲ برسد. همچنین معیار تسلیم فون میسز و قانون سخت‌شوندگی جنبشی در نظر گرفته شده است چون در فولاد با توجه به اثر بوشینگر سطح تسلیم با افزایش کرنش خمیری بدون تغییر حجم در فضای تنش‌های اصلی جابجا می‌شود.

برای بارگذاری که در انتهای ستون در زیر سازه به صورت افقی اعمال می‌شود از بارگذاری تعییر مکانی رفت و برگشتی افزایش باینده استفاده شده است. این بارگذاری به صورت دوره‌ی مطابق شکل ۴ (بارگذاری ارائه شده ATC برای تست آزمایشگاهی) انجام شده است.

در این نمودار بارگذاری، واحد تعییر مکان به صورت زاویه داده شده است که برای دست‌یابی به میزان تعییر مکان افقی که بایستی به انتهای ستون اعمال شود، مقدار زوایایی داده شده در ارتفاع طبقه ضرب می‌شود. نمودار لنگر-دوران حاصل از این بارگذاری به صورت منحنی‌های هیپوتزرزیس است.



شکل ۴. بارگذاری استاندارد پیشنهاد SAC برای انجام آزمایش.^[۷]

قوطی، ابعاد اتصال RBS و ابعاد اتصال صفحات کناری نیز در جداول ۲ الی ۵ نشان داده شده است.

در برنامه‌ی ANSYS اتصال قطعات به صورت‌های مختلف انجام می‌شود. مثلاً اتصال گره به گره، صفحه به صفحه و...؛ ولی در این نوشتار سطوح اتصال با فرض انجام جوش دقیق، یکپارچه تصور می‌شود.

جدول ۱. ابعاد پروفیل‌های تیر و ستون مورد مطالعه.

Beam	Column Profile	Model
IPE ^{۲۰}	BOX ^{۳۰} × ۳۰ × ۱,۵	SPD ^۱
IPE ^{۲۲}	BOX ^{۳۰} × ۳۰ × ۱,۵	SPD ^۲
IPE ^{۲۴}	BOX ^{۳۰} × ۳۰ × ۱,۵	SPD ^۳
IPE ^{۲۷}	BOX ^{۳۰} × ۳۰ × ۱,۵	SPD ^۴
IPE ^{۳۰}	BOX ^{۳۰} × ۳۰ × ۱,۵	SPD ^۵
IPE ^{۲۰}	BOX ^{۴۰} × ۴۰ × ۱,۵	SPD ^۶
IPE ^{۲۲}	BOX ^{۴۰} × ۴۰ × ۱,۵	SPD ^۷
IPE ^{۲۴}	BOX ^{۴۰} × ۴۰ × ۱,۵	SPD ^۸
IPE ^{۲۷}	BOX ^{۴۰} × ۴۰ × ۱,۵	SPD ^۹
IPE ^{۳۰}	BOX ^{۴۰} × ۴۰ × ۱,۵	SPD ^{۱۰}

تمامی ابعاد بر حسب سانتی‌متر است.

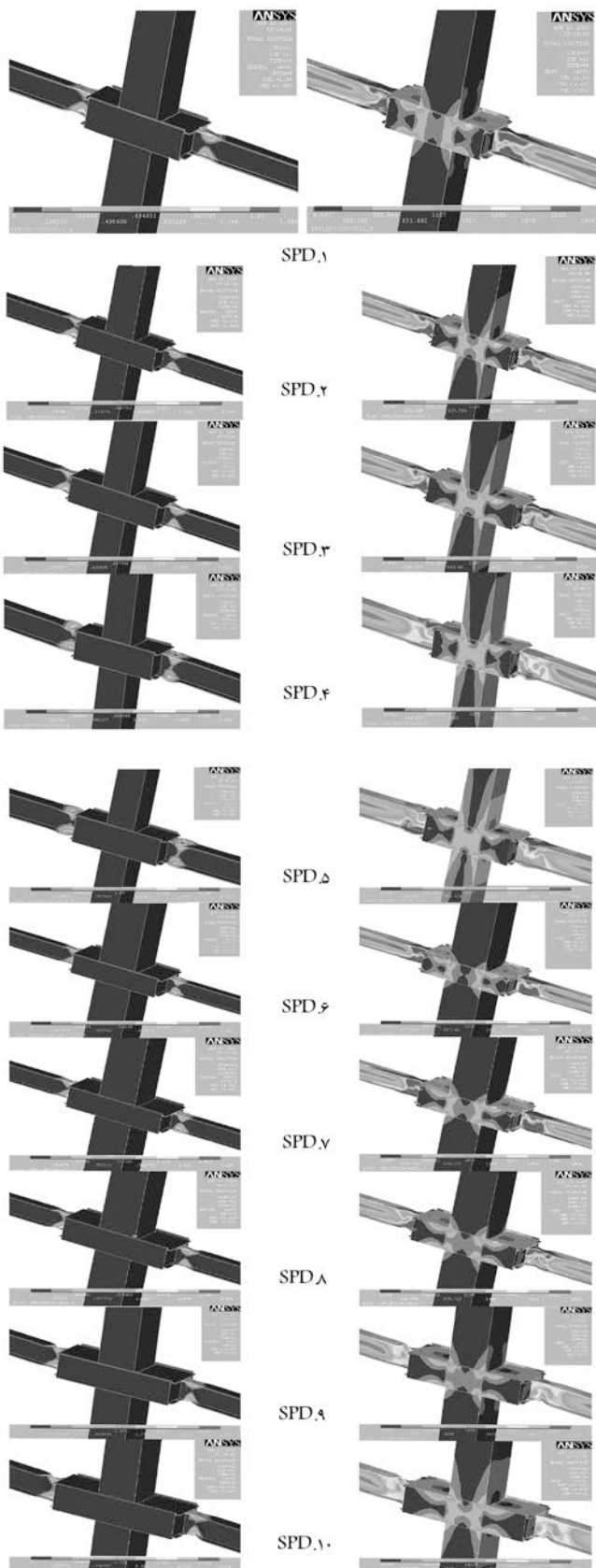
جدول ۲. ابعاد مدل‌ها.

tsh	bcov	Lcov	t cov	H sp	L sp	t sp	NAME
۸	۲۰	۲۴	۰,۸	۲۵	۷۴	۱,۵	SPD ^۱
۸	۲۲	۲۹	۰,۸	۲۷	۸۴	۱,۸	SPD ^۲
۸	۲۴	۳۴	۰,۸	۲۹	۹۴	۲	SPD ^۳
۱۰	۲۷	۲۹	۱	۳۲	۸۴	۲	SPD ^۴
۱۰	۳۰	۳۴	۱	۳۵	۹۴	۲,۲	SPD ^۵
۸	۲۰	۲۹	۰,۵	۲۵	۹۴	۱,۵	SPD ^۶
۸	۲۲	۳۴	۰,۵	۲۷	۱۰۴	۱,۸	SPD ^۷
۸	۲۴	۳۹	۰,۶	۲۹	۱۱۴	۲	SPD ^۸
۱۰	۲۷	۴۴	۰,۸	۳۲	۱۲۴	۲,۲	SPD ^۹
۱۰	۳۰	۴۹	۰,۸	۳۵	۱۳۴	۲,۵	SPD ^{۱۰}

تمامی ابعاد بر حسب سانتی‌متر است.

جدول ۳. ابعاد اتصال دارای ورق روسری و زیرسری به ستون قوطی.

مدل	قطعه تیر	قطعه ستون	ورق پوشش بالا و پایین
اتصال با ورق روسری و زیرسری	IPE ^{۳۰}	۴۰ × ۴۰ × ۲	PL ^{۳۱} × ۲۰ × ۲



شکل ۵. توزیع تنش و کرنش مدل‌ها در زاویه‌ی دوران 60° رادیان بارگذاری دوره‌بی.

نتایج تحلیل در مرحله‌ی اول ارائه‌دهنده‌ی محل تشکیل مفصل خمیری است. این نتیجه را می‌توان در شکل ۵ و به صورت توزیع تنش‌ها و کرنش‌های خمیری در زیر سازه مشاهده کرد. همان‌طورکه انتظار می‌رود کرنش‌های خمیری در تیر و در خارج از اتصال رخ داده است. همچنین می‌توان ملاحظه کرد که تسليم از بال تیر شروع شده و به تدریج در جان تیر منتشر می‌شود.

منحنی‌های هیسترزیس

در شکل ۶ منحنی‌های هیسترزیس لنجگر-دوران همه‌ی مدل‌ها آوردۀ شده است. همان‌طورکه در اشکال دیده می‌شود مقاومت خمشی اتصال در همه‌ی موارد بالاتر از ظرفیت خمشی خمیری تیراست.

پوش منحنی‌های هیسترزیس لنجگر-دوران

برای بررسی اثر اندازه‌ی ستون در شکل پوش منحنی‌های هیسترزیس در مدل‌های با تیریکسان در کنار یکدیگر رسم شده است. همان‌گونه که در شکل ۷ مشاهده می‌شود افزایش اندازه‌ی مقطع ستون تأثیر زیادی در رفتارخطی سیستم ندارد و فقط باعث افزایش مقاومت در ناحیه‌ی غیرکشسانی می‌شود. افت‌هایی که در منحنی‌ها مشاهده می‌شود ناشی از بروز کماش در تیر هستند. با افزایش ابعاد تیر مقاومت اتصال نیز افزایش می‌یابد ولی افت مقاومت در زوایای چرخش کمتری رخ می‌دهد.

بررسی تأثیر تغییر ضخامت ورق کناری

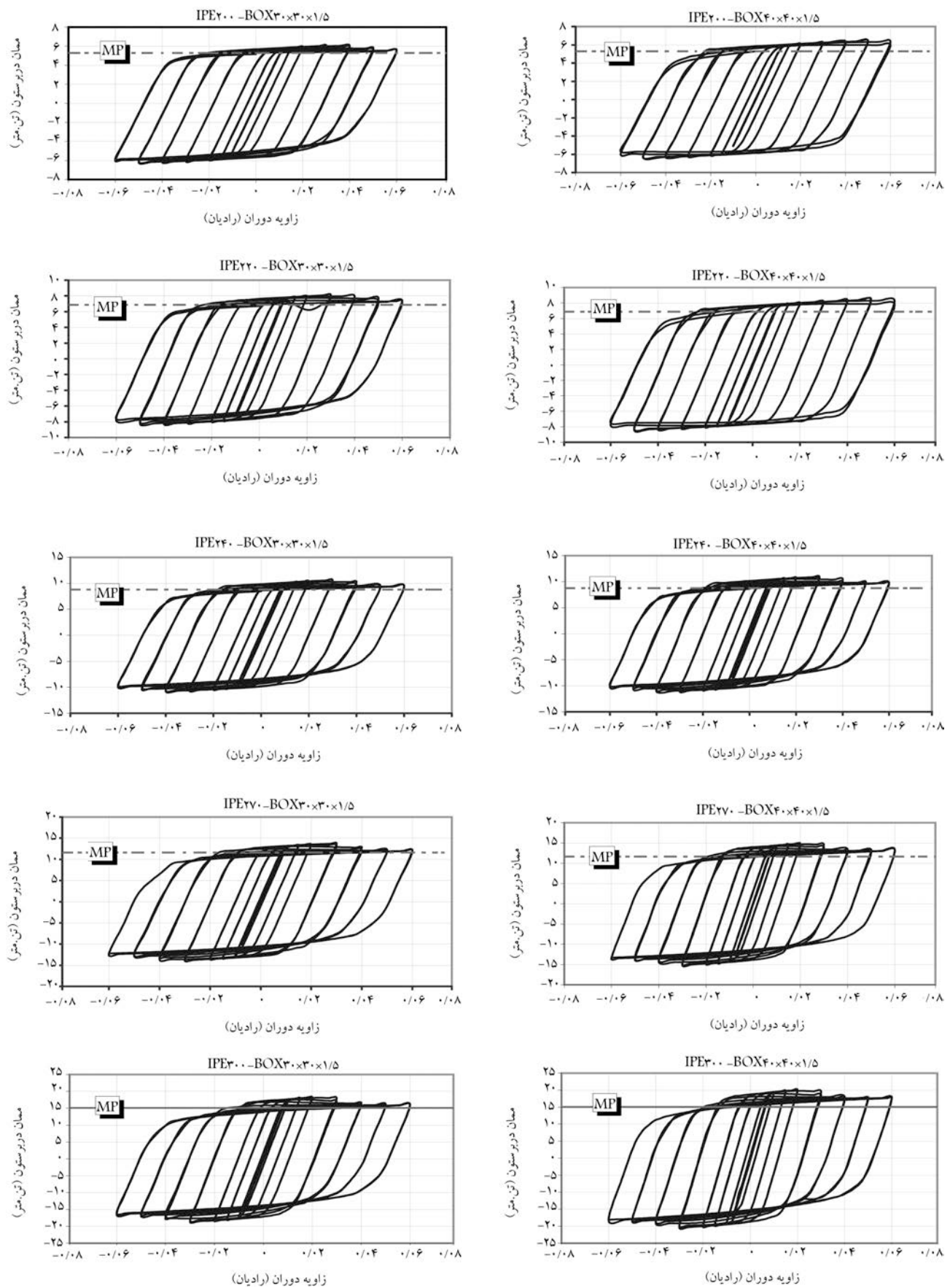
برای بررسی تأثیر افزایش و کاهش ابعاد ورق کناری در نحوه‌ی توزیع کرنش‌های خمیری در ناحیه‌ی اتصال و مقایسه‌ی پوش منحنی‌های هیسترزیس ضخامت ورق کناری را با ثابت نگهدارشتن سایر پارامترها تغییرداده (شکل ۸ و ۹) و مقدار ضخامت برای تیر IPE 300 و ستون $1/5 \times 30 \times 30$ که از طراحی BOX $2/2$ سانتی‌متر به دست آمده بود به 3 افزایش و $1/5$ و 5° کاهش داده‌ایم.

همان‌طورکه از پوش منحنی مشاهده می‌شود افزایش ضخامت در مقدار طراحی، تأثیری در سختی و مقاومت اتصال ندارد. کاهش ضخامت نیز باعث افت ناگهانی مقاومت و سختی می‌شود. مطابق توزیع کرنش فون میسنس نیز با کاهش ضخامت ورق کناری محل تشکیل مفصل خمیری به داخل اتصال شیفت پیدا می‌کند. با افزایش ضخامت تا مقدار به دست آمده از طراحی محل تشکیل مفصل خمیری از اتصال دورشده به داخل تیر می‌رود.

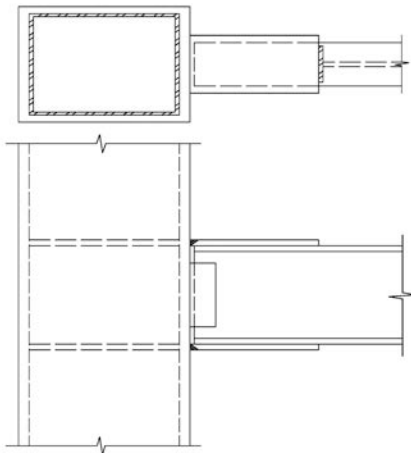
بررسی اتصال با ورق کناری در مقایسه با اتصال‌های دیگر

سه نوع اتصال صلب با عنوان اتصال با ورق‌های زیرسی و روسری، اتصال مستقیم تیر به ستون و اتصال RBS با مقطاع تیر و ستون یکسان طراحی شدند. در اتصال FEMA 350 بالهای تیر مستقیماً به ستون جوش نمی‌شوند. جزییات تیپ این اتصالات در شکل ۱۰ و ۱۱ آمده است.

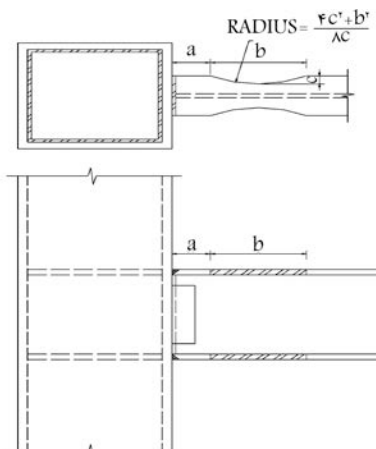
ابعاد به دست آمده از طراحی این سه اتصال در مدل‌سازی استفاده و تمام



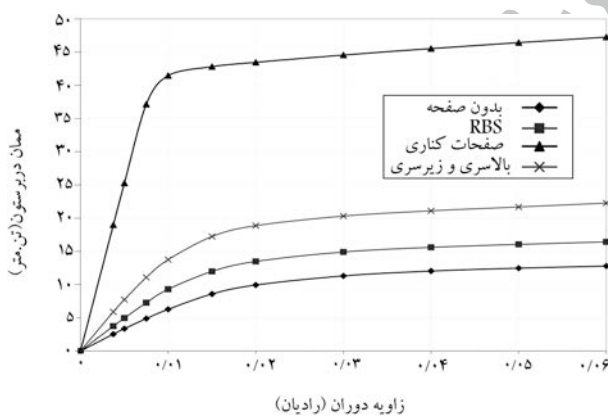
شکل ۶. منحنی هیسترزیس لنگر دوران کل زیرسازه‌ی اتصال با صفحات کناری.



شکل ۱۰. جزییات اتصال دارای ورق روسربی و زیرسربی به ستون قوطی.



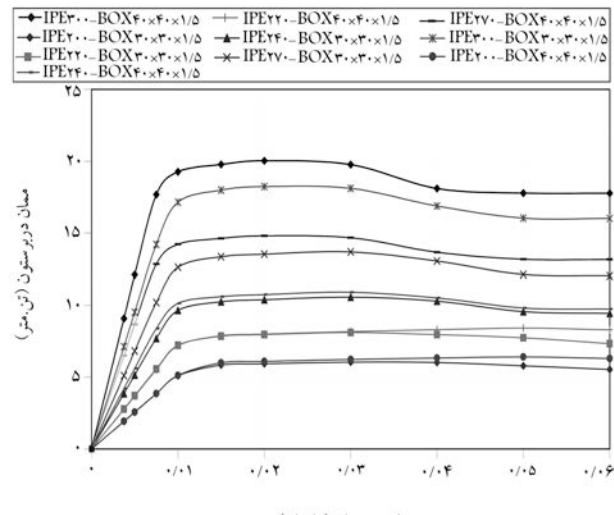
شکل ۱۱. جزییات اتصال RBS.



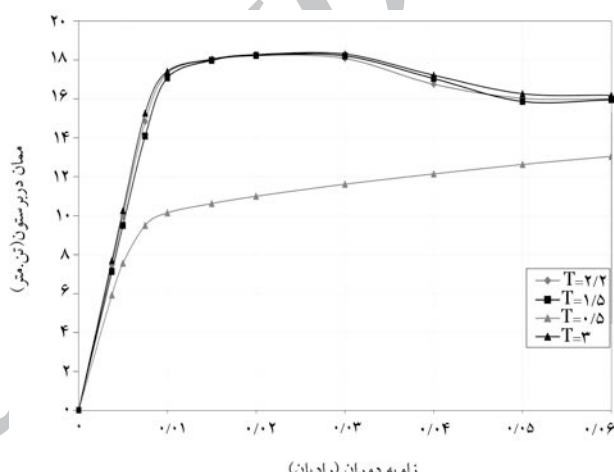
شکل ۱۲. منحنی لنگر-دوران کل اتصالات مدل سازی شده.

شرط مدل سازی و المان های به کار رفته مشابه اتصال با ورق کناری در نظر گرفته شدند. در منحنی لنگر-دوران کل زیرسازه همهی اتصالات مدل سازی شده تحت بار دوره‌بی، برای مقایسه با اتصال با ورق کناری در شکل ۱۲ قابل مشاهده است.

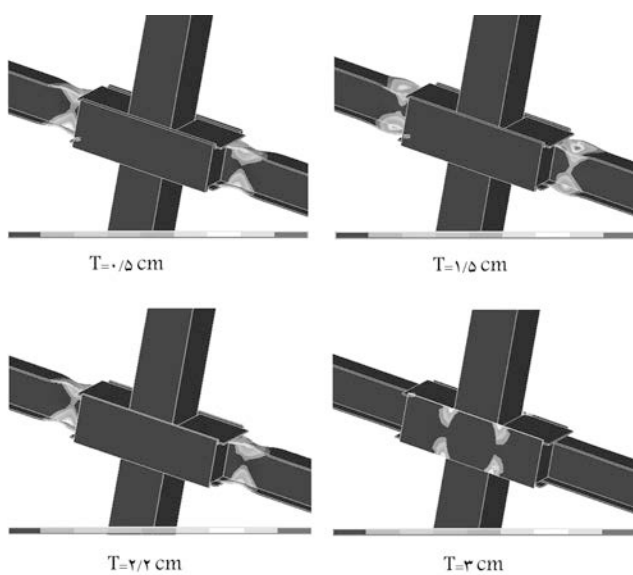
از آنجایی که تیر و ستون در تمام اتصالات مدل سازی شده دارای مقاطع یکسان و در تمام زیرسازه ها دارای سختی و مقاومت برابر هستند، می‌توان نتیجه گرفت که اتصال با ورق کناری دارای سختی و مقاومت بسیار مطلوبی است.



شکل ۷. پوش منحنی های هیسترزیس لنگر-دوران.



شکل ۸. پوش منحنی های هیسترزیس لنگر-دوران ورق با ضخامت مختلف.



شکل ۹. توزیع کرنش در زاویه دوران ۰.۰۶ رادیان بارگذاری دوره‌بی.

برابر است با:

$$\theta_a = M_F / (2EI/L) = 455600 \times 500 / 2 \times 1E6 \times 1940 = 2,86E - 2Rad$$

بنابراین درصد گیرداری برای است: با

$$R = \frac{M_{F(1)}}{M_{F(2)}} \times 100 = 3,53 \times 100 / 4,55 = 75,8$$

- حالت بار سرویس

$$F_y = 1584 \quad S_x = 194 \quad I = 1940$$

$$M_F = F_y \times S_x = 1584 \times 194 = 307296 kg.cm^3$$

مختصات نقطه‌ی تلاقی محورافقی دستگاه مختصات لنگر-دوران با خط تیر
برای است: با

$$\theta_a = \frac{M_F}{2EI/L} = 307296 \times 500 / 2 \times 1E6 \times 1940 = 1,186 Rad$$

$$R = \frac{M_{F(1)}}{M_{F(2)}} \times 100 = 2,33 \times 100 / 3,07 = 75,82$$

درصد گیرداری بقیه‌ی نمونه‌ها با همین روش به دست آمده و در جدول ۶ آورده شده است.

طبقه‌بندی براساس معیار شکل پذیری
در منحنی‌های هیستوگرام لنگر-دوران، در تمامی مدل‌ها مقدار لنگر در وجه ستون، در زاویه‌ی دوران 40° رادیان از 80° M_p ٪ بیشتر است. بنابراین می‌توان نتیجه‌گیری کرد که این اتصال براساس آینین‌نامه‌ی لرزه‌ی 5 AISC 2005 ، اتصالی کاملاً شکل پذیر با قابلیت استفاده در قابله‌ی خمشی ویژه است.^[۳]

- نتایج به دست آمده از این تحلیل‌ها به طور خلاصه عبارتند از:
۱. سیستم اتصال تیر به ستون قوطی با استفاده از صفحات کناری قادر است تمام ظرفیت خمشی خمیری تیر را به ستون انتقال دهد و باعث تشکیل مفصل خمیری در دورون تیر شود. لذا این سیستم اتصال در طبقه‌ی اتصالات کاملاً مقاوم قرار می‌گیرد.
- با توجه به تشکیل مفصل خمیری در دورون تیر، اتصال تیر به ستون قوطی با استفاده از صفحات کناری، ظرفیت چرخشی مناسبی را از خود نشان می‌دهد، به طوری که بدون کاهش شدید مقاومت به زاویه‌های چرخش 40° رادیان و بالاتر می‌رسد، بنابراین این اتصال کاملاً شکل پذیر با قابلیت استفاده در قابله‌ی مقاوم خمشی ویژه SMRF است.
- هیچ‌گونه عیب و نقصی در رفتار تحلیلی زیرسازه با این اتصال مشاهده نشد و در صورتی که فقط چند نتیجه‌ی آزمایشگاهی بتواند این نتایج تحلیلی را حمایت کند، می‌توان این اتصال را جزء اتصالات رایج ایران قرار داد.

طبقه‌بندی اتصال براساس ضوابط آینین نامه

در این قسمت با توجه به نتایج به دست آمده از تحلیل اجزاء محدود، این اتصال براساس معیارهای مختلف اتصالات خمشی طبقه‌بندی می‌شود.

طبقه‌بندی براساس معیار مقاومت

اتصالی کاملاً مقاوم است که مقاومت آن از ظرفیت خمشی خمیری تیر بیشتر باشد. با توجه به منحنی‌های هیستوگرام لنگر-دوران به دست آمده از تحلیل اجزاء محدود مشاهده می‌شود که در تمامی مدل‌ها مقاومت اتصال از ظرفیت خمشی خمیری تیر بیشتر است. بنابراین این اتصال کاملاً مقاوم یا (FS) است.

طبقه‌بندی اتصال براساس معیار سختی

برای طبقه‌بندی براساس این معیار از مفهوم خط تیر استفاده می‌شود. برای طبقه‌بندی اتصال براساس سختی باید نمودار لنگر-دوران اتصال به دست آورده شود، سپس لنگر گیرداری و دوران را برای بار سرویس و حالت نهائی به دست آورد. در ادامه روش به دست آوردن درصد گیرداری برای یک نمونه از اتصالات آورده شده است.

محاسبه‌ی درصد گیرداری مدل ۱

$$IPE200 - BOX30 \times 30 \times 1,5$$

- حالت بار نهائی

$$F_y = 2400 \quad S_x = 194 \quad I = 1940$$

$$M_F = F_y \times S_x = 2400 \times 194 = 455600 kg.cm^3$$

مختصات نقطه‌ی تلاقی محورافقی دستگاه مختصات لنگر-چرخش با خط تیر

جدول ۶. برآورد درصد گیرداری اتصال در بار نهائی و بار سرویس.

مقاطع ستون	درصد گیرداری در بار نهائی	درصد گیرداری در بار سرویس
IPE200 - BOX30x30x1,5	75,823	75,816
IPE200 - BOX40x40x1,5	75,823	75,816
IPE220 - BOX30x30x1,5	85,177	67,130
IPE220 - BOX40x40x1,5	75,908	75,893
IPE240 - BOX30x30x1,5	75,874	74,143
IPE240 - BOX40x40x1,5	75,991	75,874
IPE270 - BOX30x30x1,5	73,580	73,718
IPE270 - BOX40x40x1,5	77,994	77,894
IPE300 - BOX30x30x1,5	70,158	73,758
IPE300 - BOX40x40x1,5	77,412	77,050

پانوشت

1. reduced beam section (RBS)
2. side plate
3. slotted web
4. bolted bocher
5. reduced web

منابع

۱. معاونت امور فنی-دفتر تدوین ضوابط و معیارهای فنی، آیین نامه‌ی اتصالات در سازه‌های فولادی، نشریه‌ی شماره ۲۶۴ (۱۳۸۲).
۲. مزروعی، ع.، سیمونیان، و.، و نیکخواه عشقی، م.، «ارزیابی اتصالات صلب جوشی متداول در ایران»، مرکز تحقیقات ساختمان و مسکن، نشریه ک-۳۵۵-۳۵۵، ۱۳۷۸، ۱۹۹۹ (م).
3. Blais, R., "Joints soudes pour profiles tubulaires", *MSc. Thesis, Civil Eng. Dep.*, Laval University, Quebec (1974).
4. Picard, A, and Giroux, Y.M., "Rigid framing connections for tubular columns" *Canadian Journal of Civil Engineering*, **4**, pp.134-144 (1977).
5. Atsuo, T.; Hiroshi, M., and Akiyoshi, I., "Statistical characteristics of WF beam to RHS column connections using vertical stiffeners", *11th WCEE*, Acapulco, Mexico (1996).
6. Houghton, D.L., "Steel frame connection technology of the new millennium satisfying heightened performance expectations with simplicity and reliability at low cost", *Proceeding of the 12th World Conference on Earthquake Engineering (12WCEE)*, Auckland, New Zealand, January 30-February 4 (2000).
7. "ANSYS (Revision 5.4). User's manual, theory", *Swanson Analysis Systems, Inc.*, **IV** (1992).
8. Clark,P., "Protocol for fabrication, inspection, testing and documentation of beam-column connection test and other experimental specimens", *SAC Joint Venture*, Sacramento, California (1997).
9. AISC, *American Institute of Steel Construction*, "Seismic provisions for structural steel bulidins", Chicago, Illinois (2005).